

Trabalho de L^AT_EX

Sumário

1	Introdução	1
2	Fundamentação Teórica	2
2.1	Figuras utilizadas	2
3	Desenvolvimento	4
3.1	Dados computacionais	4
3.1.1	Tabelas com valores utilizados	4
4	Resultados	4
5	Circuitos Elétricos	5

Lista de Figuras

1	Forma de crescimento dos valores.	2
2	Mostra a relação entre os parâmetros.	3
3	Mostra a parâmetros.	3
4	Mostra a relação entre os parâmetros.	4
5	Circuito representando o comportamento apresentado.	5
6	Representa uma distribuição de cargas em forma de anzol.	5
7	Elementos	6
8	Elementos 2	6

Lista de Tabelas

1	Indica a relação entre os valores pedidos e fornecidos.	4
---	---	---

Resumo

Texto de experimento do latex. **Texto de experimento do latex.** Texto de experimento do latex. Texto de experimento do latex. Texto de experimento do latex. Conforme a Figura 2. Texto de experimento do latex. Texto de experimento do latex. Aqui relacionamos a Figura 1, conforme a Equação (4)

1 Introdução

Será dito na Seção 3.1.1, que o material necessário,... O Item 2(b)ii é utilizado conforme referência [1] É, tão, calção, né. É, tão, calção, né. Texto de experimento do latex. Texto de experimento do latex. Texto de experimento do latex. TEXTO DE EXPERIMENTO DO LATEX.

$$2x + 1 = 3 \tag{1}$$

$$2x + 1 = 3$$

$$\vec{A} \cdot \vec{B} = |A||B| \cos(\theta) \tag{2}$$

Texto de experimento do latex. Texto de $5x - 4t = 12$ experimento do latex. Texto de experimento do latex. Texto de experimento do latex. Texto de experimento do latex. Texto de experimento do latex.

$$12x + 3 = 4$$

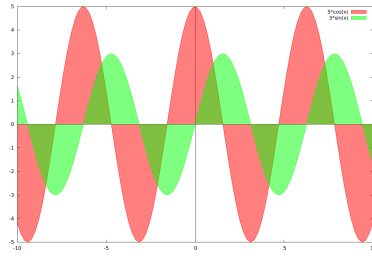


Figura 1: Forma de crescimento dos valores.

2 Fundamentação Teórica

A Equação $f(x) = \frac{5x-4}{2x-6}$ é a matematização da expressão dada pela askfjh askdjfh askdjf askdjfh askdjfh alksdhf askjh askdf Equação (3).

2.1 Figuras utilizadas

$$f(x) = \sum_{i=1}^n \frac{f^i(x)}{i!}, \quad (3)$$

$$f(x) = \sum_{i=1}^n \frac{f^i(x)}{i!}$$

Texto

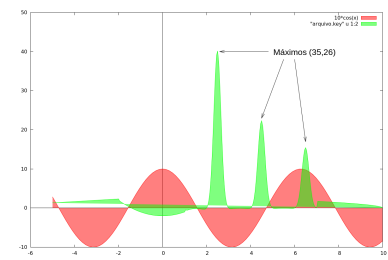


Figura 2: Mostra a relação entre os parâmetros.

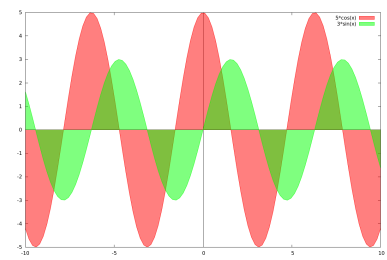
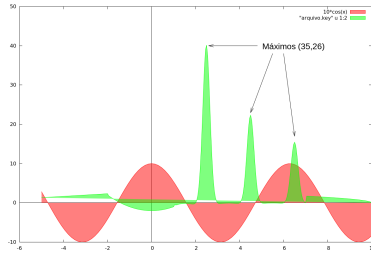


Figura 3: Mostra a



$$\Phi_E = \oint_0^{\text{Área}} \vec{E} \cdot d\vec{A},$$

$$\Phi_E = \oint_0^{\text{Área}} \vec{E} \cdot d\vec{A}$$

Figura 4: Mostra a relação entre os parâmetros.

$$\Phi_E = \oint_0^{\text{Área}} \vec{E} \cdot d\vec{A}, \Phi_E = \oint_0^{\text{Área}} \vec{E} \cdot d\vec{A}$$

3 Desenvolvimento

3.1 Dados computacionais

$$\alpha, \beta, \gamma, \delta, \Delta, \epsilon, \psi, \Psi(x, t)$$

$$|\vec{A} \times \vec{B}| = |\vec{A}||\vec{B}| \sin(\theta)$$

3.1.1 Tabelas com valores utilizados

A_{11}	A_{12}	A_{13}
A_{21}	A_{22}	A_{23}
V_x	$V_y asdj$	V_z

Tabela 1: Indica a relação entre os valores pedidos e fornecidos.

$\theta = \sqrt{x^2 - 8}$, $\theta = \sqrt[5]{x^2 - 8}$, versor nas direções x, y, z são dados por $\hat{i}, \hat{j}, \hat{k}, \hat{i}$, conforme a Tabela 1.

- Primeiro item;
- Segundo item;
 - Subitem 1;
 - Subitem 2;
 - * Sub-subitem1;
 - * Sub-subitem 2.
 - Subitem 3.
- Terceiro item;
- Quarto item;
- Quinto item;
- Sexto item.

4 Resultados

$$A_{ij} = \begin{bmatrix} A_{11} & A_{12} & A_{13} \\ A_{21} & A_{22} & A_{23} \\ V_x & V_y asdj & V_z \end{bmatrix} \quad (4)$$

1. Primeiro item;
2. Segundo item;
 - (a) Subitem 1;
 - (b) Subitem 2 [1];
 - i. Sub-subitem1;
 - ii. Sub-subitem 2.
 - (c) Subitem 3 [2].

3. Terceiro item;
4. Quarto item;
5. Quinto item;
6. Sexto item.

5 Circuitos Elétricos

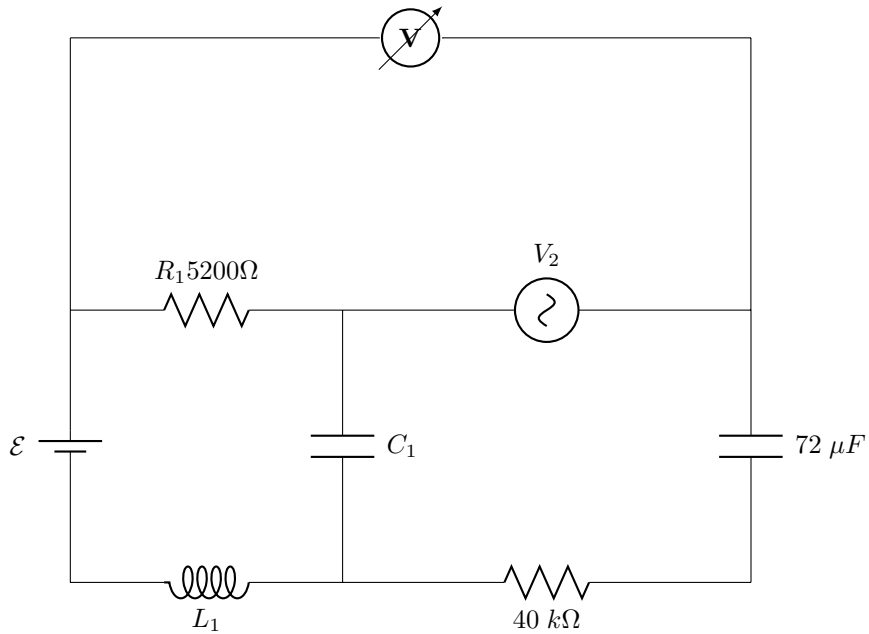


Figura 5: Circuito representando o comportamento apresentado.

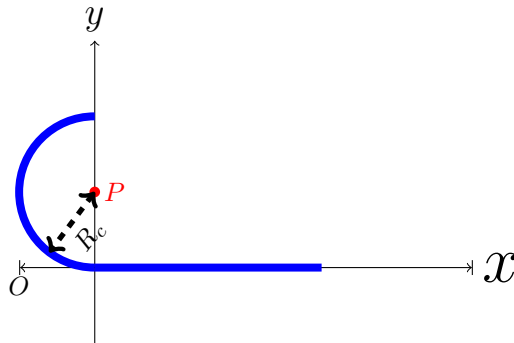


Figura 6: Representa uma distribuição de cargas em forma de anzol.

Referências

- [1] E. M. Oblow. Supertracks, supertrack functions and chaos in the quadratic map. *Physics Letters A*, 128(8):406 – 412, 1988.
- [2] R. M. May. Simple mathematical models with very complicated dynamics. *Nature*, 261(1):459–467, 1976.

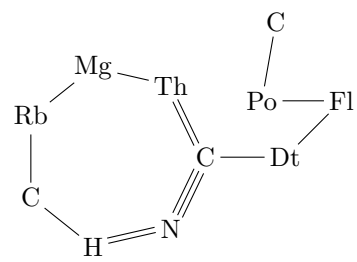


Figura 7: Elementos

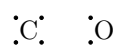


Figura 8: Elementos 2